УДК 547.963.3

БИОХИМИЯ

## Э. В. ФРИСМАН, А. Н. ВЕСЕЛКОВ, С. В. СЛОНИЦКИЙ, В. И. ВОРОБЬЕВ

## ВЛИЯНИЕ РАСТВОРИТЕЛЯ НА КОНФОРМАЦИЮ МОЛЕКУЛЫ ДЕЗОКСИРИБОНУКЛЕИНОВОЙ КИСЛОТЫ

(Представлено академиком А. А. Баевым 25 VII 1973)

Параметры вторичной структуры молекулы ДНК зависят от природы ДНК, ионного состава и относительной влажности препарата (¹-¹). Однако при относительной влажности ≥95% и в водно-солевых растворах молекула ДНК принимает В-форму. Вариация температуры (или рН) раствора может вызвать конформационный переход в молекуле ДНК, связанный с разрушением ее вторичной структуры (⁵). Сведения о природе сил, стабилизирующих структуру молекулы ДНК, можно также получить исследованием конформационных превращений, вызванных различными растворителями.

В работе (6) изучалось влияние спирто-водных растворителей на молекулярную структуру ДНК. Основным выводом является обратимость денатурирующего действия спирта на ДНК. Подробно исследованы спектры кругового дихроизма Na-ДНК тимуса теленка в смешанных растворителях (7). Из сопоставления с данными работы (8) показано, что в смеси, содержащей ~80% этанола и 5·10-4 M NaCl, молекула ДНК принимает А-форму. В данной работе изучалось влияние водно-этанольных растворителей различной ионной силы на конформацию молекулы ДНК методами динамического двойного лучепреломления и вязкости, что позволит получить информацию о вторичной и третичной структурах молекулы ДНК.

Использована Na-ДНК из тимуса теленка с молекулярным весом (м.в.)  $28\cdot 10^6$  дальтон, определенным по ее характеристической вязкости в 0,15 M NaCl. Каждую систему получали смешением водно-солевого раствора ДНК и спирта, содержащих одинаковое количество ионов Na+. Концентрацию  $C_{\text{ДНК}}$  определяли по поглощению раствора при  $\lambda$  270 и 290 мµ после его гидролиза с 6% HClO4 с учетом особенностей изучаемой системы. Исследовали лишь те растворы, для которых атомный коэффициент поглощения  $E_{260}$  (p) соответствовал нативному состоянию ДНК. Относительную вязкость раствора ( $\eta_{\tau}$ ) при разных градиентах скорости потока (G) изучали на модифицированном вискозиметре Зимма и Кротзерса. Для каждой системы определяли характеристическую вязкость

$$[\eta] = \lim_{\substack{G \to 0 \ C_{\mathrm{ZHR}} o 0}} \left( rac{\eta_r - 1}{C_{\mathrm{ZHR}}} 
ight).$$

Величину двойного лучепреломления  $\Delta n$  измеряли на установке с эллиптическим компенсатором и фотоэлектрической фиксацией. Во всех изученных растворах величина  $\Delta n$  отрицательна и в использованном интервале градиентов скорости пропорциональна G. Вычислены динамооптические постоянные

$$[n] = \lim_{\substack{G \to 0 \\ C_{\text{ДHK}} \to 0}} (\Delta n/g \eta_0 C_{\text{ДHK}}).$$

Здесь  $\eta_0$  — вязкость растворителя. Известно, что отношение  $\lfloor n \rfloor / \lfloor \eta \rfloor$  про-

порционально разности поляризуемостей макромолекулы в растворе  $(\gamma_1-\gamma_2)$ , которая может быть обусловлена как собственной оптической анизотропией макромолекулы  $(\gamma_1-\gamma_2)_i$ , так и индуцированной электрическим нолем световой волны  $(\gamma_1-\gamma_2)_i$ . Многочисленные исследования показали, что у молекулы ДНК в водно-солевых растворах значение  $(\gamma_1-\gamma_2)_i$  пренебрежимо мало в сравнении с  $(\gamma_1-\gamma_2)_i$ . Это вытекает из отсутствия концентрационной зависимости величины  $[\Delta n/g\eta_0(\eta_r-1)]_{g\to 0}$  и совпадения ее с  $[n]/[\eta]$  [§]. Такая закономерность соблюдается и в спирто-водных растворах ДНК. У линейных макромолекул  $(\gamma_1-\gamma_2)_i$  определяется разностью поляризуемостей мономерного остатка  $(a_{\parallel}-a_{\perp})$  в параллельном и перпендикулярном направлениях к цепи и ее термодинамической жесткостью.

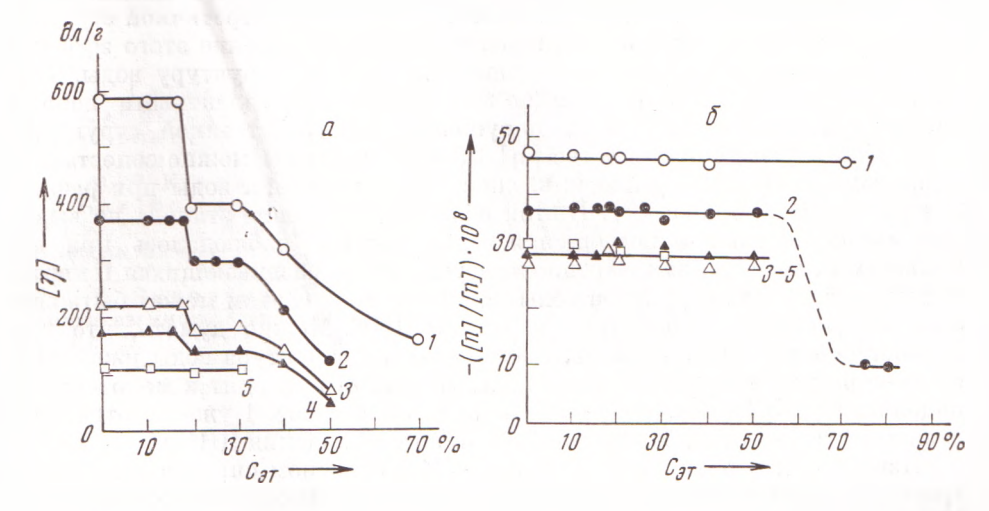


Рис. 1. Зависимость  $[\eta]$  (a) и  $[n]/[\eta]$  (б) от объемной концентрации этанола в различных ионных силах.  $I-4\cdot 10^{-4},\ 2-1\cdot 10^{-3},\ 3-4\cdot 10^{-3},\ 4-1\cdot 10^{-2},\ 5-1\cdot 10^{-1}\ M$  NaCl

Отсюда следует, что величина  $(\gamma_1 - \gamma_2)_1$  связана со вторичной структурой

молекулы ДНК.

Зависимость [ŋ] от процентного содержания этанола при разных понных силах и изображена на рис. 1. Кривые показывают, что до объемной концентрации этилового спирта, равной 20%, [η] ДНК сохраняет постоянное значение. При 20% этанола в смеси величина [η] кооперативно уменьшается и тем больше, чем меньше и. При дальнейшем добавлении этанола вновь обнаруживается область постоянства [ŋ], после которой возникает постепенное падение [η]. Заметим, что при концентрации этанола ≥50% наблюдается частичное осаждение ДНК. Это может привести к заниженным значениям [ŋ], так как в первую очередь будут осаждаться высокомолекулярные фракции ДНК. Поведение величины [η] в области  $0 \le C_{27} \le 70\%$  связано лишь с изменениями в третичной структуре молекулы ДНК. Об этом свидетельствует постоянство величины  $[n]/[\eta]$  в указанном интервале концентраций этанола при фиксированном значении µ (рис. 1). Возможное фракционирование ДНК, в случае ее частичного осаждения, не отразится на величине  $[n]/[\eta]$ , так как зависимость  $[n]/[\eta]$ от м.в. для ДНК наблюдается при м.в. <2.106 дальтон. В наших опытах. при наибольшем осаждении ДНК, ее м.в. (28·10<sup>6</sup>) изменялся не более чем в два раза. Об этом можно было судить по вязкости отдиализованного от этанола раствора ДНК при известных  $\mu$  и  $C_{\text{днк}}$ . При  $C_{\text{эт}} = 75$  и 80% $\mu=10^{-3}$ , величина  $[n]/[\eta]$  претерпевает трехкратное уменьшение (рис. 1).

Можно убедиться, что изменение величин  $[\eta]$  и  $[n]/[\eta]$  связано с поведением спирто-водного растворителя, физические свойства которого обладают сложной зависимостью от концентрации спирта (10-13): предпола-

гается, что при небольших концентрациях спирта его молекулы внедряются в рыхлую структуру воды, не нарушая ее пространственной структуры. В случае этанола такая ситуация имеет место до  $C_{\text{эт}} \approx 20 \,\%$  ( $\sim 7$  мол. %). Увеличение концентрации спирта уже не позволяет его молекулам разместиться в междоузлиях воды, и упорядоченная пространственная структура воды нарушается. При этом возникают экстремумы физических свойств спирто-водной смеси: положения максимума и.-к. спектра поглощения воды, интенсивности изотропного рассеяния света, теплоем-

кости и др. (10-13). Сопоставление поведения молекулы ДНК и водно-этанольной смеси показывает, что начало структурного перехода в растворителе вызывает кооперативное уменьшение [η], связанное с изменением третичной структуры макромолекулы. Можно предположить, что уменьшение этого эффекта при возрастании и обусловлено влиянием ионов на структуру воды. Так, например, при µ=0,1 М расстояние между одно-одновалентными ионами равно 20 Å, что указывает на нарушение пространственной структуры воды. Последующее постоянство [η] (до 30% этанола) можно сопоставить с данными по исследованию и.-к. спектров поглошения воды при разных концентрациях этанола (13). В этой области добавление этанола не вызывает смещения полосы поглощения воды, которое наблюдалось при его меньших концентрациях. Предполагается, что в развивающихся спиртоводных ассоциатах структура воды не изменяется. С этим может быть связана неизменность параметров молекулы ДНК. Можно думать, что при дальнейшем увеличении концентрации этанола структура воды уже существенно разрушена. При этом добавление спирта приводит к монотонному падению [ $\eta$ ]. Заметим, что при  $C_{3\tau} > 50\%$  кривые рис. 1 уже не отражают

зависимости [ $\eta$ ] от  $C_{\text{эт}}$  вследствие частичного осаждения ДНК.

Известно, что размеры молекулы ДНК в основном определяются электростатическими взаимодействиями между ее фосфатными группами. Можно предположить, что кооперативное изменение этих взаимодействий связано с экстремальным значением подвижности ионов Na+, наблюдаемым при ~20% этанола (14). Такое предположение позволяет понять поведение  $[\eta]$  при больших  $\mu$ . Однако зависимость  $[n]/[\eta]$  от  $C_{a\tau}$  заставляет предположить, что изменение подвижности ионов с концентрацией этанола не влияет на ближние электростатические взаимодействия в цепи ДНК. Кривые рис. 1 показывают, что этанол не изменяет характера зависимости  $[n]/[\eta]$  от  $\mu$ . Как и в случае водно-солевых растворов ДНК, возрасташие абсолютного значения  $[n]/[\eta]$  при уменьшении  $\mu$  наблюдается только в области малых ионных сил и обусловлено изменением термодинамической жесткости цепи, зависящей от ближних электростатических взаимодействий в цепи (15). Наблюдаемое изменение  $[n]/[\eta]$  при  $C_{3\tau}=75$  и 80%, свидетельствует о конформационном переходе во вторичной структуре молекулы ДНК. При указанных концентрациях этанола в растворителе образуются комплексы C<sub>2</sub>H<sub>5</sub>OH...H OH...OH C<sub>2</sub>H<sub>5</sub> с обнаженными гидрофобными группами (13). Это должно привести к ослаблению гидрофобных стэкинг-взаимодействий и возможному переходу молекулы ДНК в А-форму, в которой эти взаимодействия играют меньшую роль. Действительно, в аналогичных условиях спектр к.д. ДНК имеет вид, характерный для ДНК в A-форме (<sup>7</sup>).

Чтобы выяснить, соответствует ли уменьшение  $[n]/[\eta]$  В $\rightarrow$  А-переходу, мы оценили  $(a_{\parallel}-a_{\perp})_A$  для молекулы ДНК в А-форме. Оценка показала, что, учитывая лишь уменьшение  $(a_{\parallel}-a_{\perp})$  при В $\rightarrow$  А-переходе, нельзя скомпенсировать наблюдаемого изменения  $[n]/[\eta]$ . Чтобы удовлетворить экспериментальному значению  $[n]/[\eta]$ , необходимо предположить, что в А-форме молекула ДНК обладает большей гибкостью. Возможно, однако, что некоторую роль в уменьшении  $[n]/[\eta]$  играет более высокое значение  $E_{260}(p) \simeq 7100$ , полученное для этих растворов  $(C_{3\tau}=70$  и 80%,  $\mu=10^{-3}$  M). Трудно сказать, является ли приведенное значение  $E_{260}(p)$  признаком

частичной денатурации ДНК. Многочисленные опыты показали, что в тех случаях, когда этанол вызывал денатурацию ДНК, она была строго кооперативна в согласии с данными других авторов (6).

Таким образом, наше исследование показывает, что третичная и вторичная структуры молекулы ДНК зависят не только от состава, но и от

структуры растворителя.

Ленинградский государственный университет им. А. А. Жданова

Поступило 19 VII 1973

Институт цитологии Академии наук СССР Ленинград

## цитированная литература

<sup>1</sup> R. Langridge, W. Seeds et al., Biophys. Biochem. Cytol., 3, 767 (1957).

<sup>2</sup> R. Langridge, D. Marvin et al., J. Mol. Biol., 2, 38 (1960).

<sup>3</sup> D. Marvin, M. Spencer et al., J. Mol. Biol., 3, 547 (1961).

<sup>4</sup> M. A. Mokyjeckum, K. A. Kahutohoba, T. Д. Мокујескай, К. А. Канитонова, Т. Д. Мокујеская, Мол. биол., 6, 883 (1972).

<sup>5</sup> Iu. S. Lazurkin, M. D. Frank-Kamenetski, E. V. Trifonov, Biopolymers, 9, 1253 (1970).

<sup>6</sup> T. Herskovits, S. Singer, E. Geiduschek, Arch. Biochem. and Biophys., 94, 99 (1961).

<sup>7</sup> B. И. Иванов, Л. Е. Минченкова и др., Тез. секц. докл. IV Международн. биофиз. конгр., М., 2, 1972, стр. 197.

<sup>8</sup> M. Tunis-Schneider, M. Maestre, J. Mol. Biol., 52, 521 (1970).

<sup>9</sup> A. Peterlin, J. Polym. Sci., 12, 45 (1954).

<sup>10</sup> A. И. Сидорова. И. Н. Кочнев, Тепловое движение молекул и межмолекулярное взаимодействие в жидкостях и растворах. Самарканд, 1969, стр. 168.

<sup>11</sup> М. Ф. Вукс, Л. В. Шурупова, Вестник Ленингр. унив., физ. и хим., 3, 146 (1971).

<sup>12</sup> С. П. Ривкин, А. Н. Винникова, Теплоэнергетика, № 6, 59 (1964).

<sup>13</sup> И. Н. Кочнев, Сборн. Структура и роль воды в живом организме, 1970, № 3, стр. 8.

<sup>14</sup> Н. О. Spivey, Тh. Shedlovsky, J. Phys. Chem., 71, 2165 (1967).

<sup>15</sup> Э. В. Фрисман, Тез. IV Международн. биофиз. конгр., М., 1972, 11, 2/4, стр. 25.